

# Examens de Mathématiques, L3 Physique, Octobre 2009.

## I. THÉORÈME D'ÉCHANTILLONNAGE.

L'échantillonnage consiste à enregistrer un signal  $f(t)$  seulement sur un nombre discret de points  $f_n = f(n\tau)$  (Fig. 1). Le théorème d'échantillonnage de Shannon-Nyquist nous affirme que nous sommes capable de reconstituer *exactement* la fonction  $f(t)$  à partir des  $f_n$  à deux conditions :

1. La fonction originale  $f(t)$  ne contient pas de fréquences plus élevée qu'une certaine fréquence que nous notons  $\omega_0$ . Précisément, cela veut dire que

$$\tilde{f}(\omega) = 0 \text{ si } \omega \notin [-\omega_0, \omega_0]$$

2. nous avons échantillonné le signal à au moins  $\tau = \pi/\omega_0$ .

Si ces deux conditions sont réalisées, alors nous pouvons reconstituer exactement la fonction à l'aide seulement des  $f_n$  de la façon suivante :

$$f(t) = \sum_{n=-\infty}^{+\infty} f_n \text{sinc}(\omega_0(t - n\tau)) \quad (1)$$

où  $\text{sinc}(u) = (\sin u)/u$ . Ce théorème, énoncé vers 1953, joue un rôle crucial dans les communications radio et enregistrement des signaux ; les CD par exemple sont échantillonné à 48kHz, deux fois le seuil de l'audition humaine en fréquence.

1. *Commentaires.* Expliquez ce que vous comprenez par la formule (1). Aidez-vous d'un graphe.

2. *porte* Soit une fonction  $f(t)$  quelconque. Montrez graphiquement les fonctions  $f(t)$  et  $2f(t)\Pi(t/a)$ , où  $\Pi$  représente la fonction porte. Désignons par  $\omega$  la variable

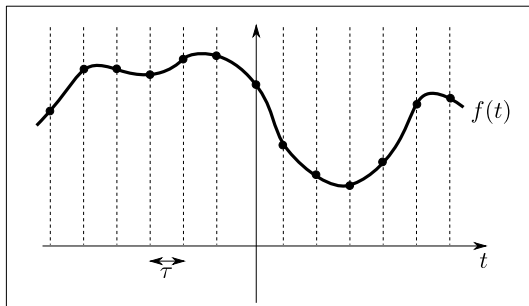


FIG. 1 Echantillonnage d'un signal  $f(t)$  à intervalle régulier  $\tau$

conjuguée à  $t$  lors d'une  $TF$ . Que valent

$$TF[\Pi(t/a)] \text{ et } TF^{-1}[\Pi(\omega/\omega_0)]$$

où  $a$  et  $\omega_0$  sont des constantes ?

3. *Peigne de Dirac.* La peigne de Dirac est définie par

$$\Psi_a(t) = \sum_{n=-\infty}^{\infty} \delta(t - na)$$

Soit la distribution

$$\Psi_a(t).f(t) = \sum_n f(t)\delta(t - na)$$

Représenter graphiquement la distribution  $\Psi_a(t)$  et la distribution  $\Psi_a(t).f(t)$  où  $f$  est une fonction quelconque. Démontrer que

$$\Psi_a(t).f(t) = \sum_n f(na)\delta(t - na)$$

[Help : égalité entre distribution].

4. *Convolution.* Rappeler ce que vaut  $(f * \delta_a)(t)$ , le produit de convolution de la fonction quelconque  $f(t)$  avec la distribution de Dirac  $\delta(t - a)$ . Soit maintenant la fonction  $f(t)$  à support bornée :  $f(t) = 0$  si  $t \notin [-b, b]$ . Représenter graphiquement  $(f * \delta_{2a})(t)$  dans les cas où  $b > a$ ,  $b = a$  et  $b < a$ . En utilisant ces résultats, représenter graphiquement

$$(\Psi_{2a} * f)(t)$$

dans les trois cas précédent.

5. *Linéarité.* Démontrer que le produit de convolution est linéaire, c'est à dire

$$(\lambda f + \mu g) * h = \lambda(f * h) + \mu(g * h)$$

6. *Résultat admis.* Nous admettons le résultat suivant : la TF d'une peigne de Dirac est une peigne de Dirac (voir les examens des années précédentes) :

$$TF[\Psi_a(t)] = (2\pi/a)\Psi_{2\pi/a}(\omega)$$

De quelle distribution  $\Psi_{\omega_0}(\omega)$  est elle la TF ?

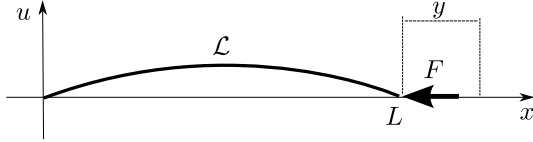


FIG. 2 Flambage sous l'effet d'une force.

7. *Mise en place.* Soit maintenant la fonction à support bornée  $\tilde{f}(\omega)$ , nulle en dehors de l'intervalle  $[-\omega_0, \omega_0]$ . En utilisant les résultats précédents, argumenter pourquoi

$$\tilde{f}(\omega) = 2 \left( \tilde{f} * \Psi_{2\omega_0} \right) (\omega) \cdot \Pi(\omega/\omega_0)$$

Aidez vous d'un graphique.

8. *TF inverse.* En appliquant la TF inverse à l'équation précédente, démontrer que

$$f(t) = \left( \sum_{-n=\infty}^{\infty} f(t) \cdot \delta(t - n\pi/\omega_0) \right) * \text{sinc}(\omega_0 t)$$

[**Help** :  $\text{TF}^{-1}[(\tilde{f} * \tilde{g})(\omega)] = 2\pi f(t) \cdot g(t)$  ].

9. *Fin* A partir de l'équation précédente, obtenir enfin l'équation (1) de Nyquist-Shannon.

*Note.* En général, le théorème de Nyquist est énoncée à l'aide des fréquences  $\nu$  et non des fréquences angulaires  $\omega$  comme nous l'avons fait ici. Sachant que  $\omega = 2\pi\nu$ , le théorème d'échantillonnage est souvent énoncé par la formulation  $\tau < 1/2\nu_0$ .

## II. FLAMBAGE DES POUTRES.

Posez une règle à la verticale et appuyez avec un doigt dessus : au bout d'une certaine pression, la règle fléchit soudain. On appelle cette transition brusque le "flambage". Le flambage est par exemple la raison principale qui limite la hauteur des immeubles : au delà d'une certaine taille, l'immeuble flambe sous son propre poids. Nous allons étudier ce phénomène à l'aide des séries de Sinus.

*Minimum.* Pour une fonction  $f(z_1, \dots, z_n) = a_1 z_1^2 + \dots + a_n z_n^2$ , le point  $z_1 = z_2 = \dots = z_n = 0$  est un minimum si  $a_i > 0 \forall i$ . En mécanique, Un point constitue un équilibre stable si c'est un minimum de l'énergie potentielle.

*Définitions.* Nous considérons une barre de longueur  $\mathcal{L}$  qui sous l'effet d'une force  $F$  "flambe". La flèche de la barre est repéré par la fonction  $u(x)$ . La barre est contraintes de garder ses extrémités à  $u = 0$ . La différence entre la longueur de la barre et sa longueur projeté  $L$  est notée  $y = \mathcal{L} - L$  (Fig. 2).

Soit la fonction  $u(x)$  sur l'intervalle  $[0, L]$  telle que  $u(0) = u(L) = 0$ . Nous notons sa décomposition en série de sinus par

$$u(x) = \sum_{n=1}^{\infty} b_n \sin(n\pi x/L)$$

1. *Parseval.* En utilisant l'orthogonalité des sinus, démontrer l'égalité de Parseval :

$$\int_0^L u(x)^2 dx = (L/2) \sum_{n=1}^{\infty} b_n^2$$

Obtenez alors

$$\int_0^L (u'(x))^2 dx \text{ et } \int_0^L (u''(x))^2 dx$$

en fonction des harmoniques  $b_n$ .

2. *Energie Potentielle.* L'énergie potentielle de la barre s'écrit

$$\mathcal{E} = \int_0^L (1/2)B (u''(x))^2 dx - Fy$$

où  $B$  est le module de rigidité de courbure et  $F$  la force appliquée sur la barre à son extrémité. Nous considérons le début de l'instabilité où la flèche est faible ( $u'(x) \ll 1$ ). Dans ce cas

$$\begin{aligned} y = \mathcal{L} - L &= \int_0^L \left( \sqrt{1 + u'(x)^2} - 1 \right) dx \\ &= (1/2) \int_0^L u'(x)^2 dx \end{aligned}$$

Obtenez alors l'énergie potentielle en fonction de l'amplitude des harmoniques  $b_n$ .

3. *Instabilité.* La position de la barre droite (non flambée) correspond à  $b_n = 0 \forall n$ . A partir de quelle valeur  $F_c$  de la force cette équilibre devient instable? Quelle est le mode qui devient instable en premier? Comment cela correspond à votre expérience de poussée sur une règle?

4. *Hauteur.* Si il vous reste du temps, discutez comment vous pourriez utiliser ce résultat pour calculer la hauteur limite d'un bâtiment. [Note : ceci est l'explication technique de l'écroulement des tours de WTC : sous l'effet de la chaleur, la rigidité  $B$  des bâtiments, assurées par le squelette métallique, s'est abaissée au delà du seuil d'instabilité].

### III. LES SOMMES D'ABEL, LES NOYAUX DE DIRICHLET.

La convergence des séries de Fourier a joué un grand rôle dans l'avancée de l'Analyse au début du XIXème, et certains concepts très proche des distributions inventés pour cela. Nous allons visiter quelques uns.

soit la fonction  $2\pi$  périodique  $f(x)$ , dont la série de Fourier s'écrit :

$$f(x) = a_0 + \sum_{n=1}^{\infty} (a_n \cos nx + b_n \sin nx)$$

Soit la fonction  $h_N(x)$  la somme partielle des  $N$  premiers termes :

$$h_N(x) = a_0 + \sum_{n=1}^N (a_n \cos nx + b_n \sin nx)$$

1. *Coefficients de Fourier.* Démontrer que

$$a_n \cos nx + b_n \sin(nx) = (1/\pi) \int_0^{2\pi} f(y) \cos(n(x-y)) .dy$$

2. *Intervalle.* Soit une fonction  $T$ -périodique :  $g(y+T) = g(y)$ . Démontrer alors que

$$\int_a^{a+T} g(y)dy = \int_0^T g(y)dy$$

En déduire que

$$a_n \cos nx + b_n \sin(nx) = (1/\pi) \int_0^{2\pi} f(x-y) \cos(ny)dy$$

3. *Noyau de Dirichlet.* Soit la fonction (appelé le noyau de Dirichlet)

$$D_N(y) = 1/2\pi + (1/\pi) (\cos y + \cos 2y + \dots + \cos Ny)$$

Déduire alors que

$$h_N(x) = \int_0^{2\pi} f(x-y)D_N(y)dy$$

En multipliant et divisant  $D_N(y)$  par  $\sin y/2$ , déduire

$$D_N(y) = \frac{\sin((N+1/2)y)}{2\pi \sin(y/2)}$$

Pouvez dire vers quoi tend  $D_N(y)$  quand  $N \rightarrow \infty$  [Help : Vers quoi tend  $h_N(x)$  ?]

4. *Les sommes d'Abel.* Certaines séries divergentes peuvent être régularisées par la procédure d'Abel : au lieu de considérer la série  $S = \sum u_n$ , on considère la série  $S(r) = \sum r^n u_n$  où  $0 \leq r < 1$  ; Une fois le calcul fait, on étudie la limite de  $S(r)$  pour  $r \rightarrow 1$ , qu'on appelle la somme d'Abel de la série  $\sum u_n$ .

Sachant la somme d'une progression géométrique

$$1 + \lambda + \dots + \lambda^n = (1 - \lambda^{n+1})/(1 - \lambda)$$

démontrer que

$$1 - 1 + 1 - 1 + \dots = 1/2$$

au sens d'Abel.

5. *Somme d'Abel du noyau de Dirichlet.* Reprenons le noyau de Dirichlet pour  $N \rightarrow \infty$

$$\pi D_\infty(y) = 1/2 + \cos x + \dots$$

notons  $\delta_r(y)$  sa somme d'Abel . En considérant  $r^n \cos nx$  comme la partie réelle du nombre complexe  $z^n$ , démontrer que

$$\delta_r(y) = \frac{1}{2} \frac{1 - r^2}{1 - 2r \cos y + r^2}$$

Quelle est la limite de  $\delta_r(y)$  quand  $r \rightarrow 1$  ? Considérer séparément les deux cas  $y = 0$  et  $y \neq 0$ . Discuter ce résultat.